

# 壳聚糖修饰的 L-天门冬酰胺酶脂质体的稳定性

万胜利, 何丹, 晏子俊, 张严方, 张景勃\*

(重庆医科大学 高校药物工程研究中心, 重庆 400016)

**摘要:** 考察壳聚糖修饰的 L-天门冬酰胺酶脂质体在体外的稳定性。分别从最适 pH、最适温度、储存稳定性、酸碱稳定性、热稳定性, 以及抗胰蛋白酶水解的能力等方面, 对比游离 L-天门冬酰胺酶及壳聚糖修饰的 L-天门冬酰胺酶脂质体。结果表明: 游离 L-天门冬酰胺酶和壳聚糖修饰的 L-天门冬酰胺酶脂质体的最适 pH 分别为 7.5 和 7.0, 最适温度分别为 60 °C 和 50 °C, 壳聚糖修饰的 L-天门冬酰胺酶脂质体的储存稳定性、酸碱稳定性、热稳定性, 以及抗胰蛋白酶水解的能力均优于游离酶。因此, 壳聚糖修饰的 L-天门冬酰胺酶脂质体能明显提高游离酶的稳定性。

**关键词:** L-天门冬酰胺酶; 脂质体; 壳聚糖; 稳定性

中图分类号: Q 556, R 392-33 文献标志码: A 文章编号: 1673—1689(2016)10—1041—04

## Preliminary Study on the Stability of Chitosan-Modified Liposomes Containing L-Asparaginase

WAN Shengli, HE Dan, YAN Zijun, ZHANG Yanfang, ZHANG Jingqing\*

(Engineering Research Center in University, Chongqing Medical University, Chongqing 400016, China)

**Abstract:** To investigate the in vitro stability of chitosan-modified liposomes containing L-asparaginase (LACL), the optimal pH, temperature, storage stability, pH stability, thermal stability and proteolytic stability were investigated in this study. The optimal pH values of L-ASP and LACL were at 7.5 and 7.0, respectively. The optimal temperatures of L-ASP and LACL were at 60 °C and 50 °C, respectively. The stabilities of LACL were higher than that of L-ASP. The results shown that the stability of L-ASP was significantly enhanced by the LACL.

**Keywords:** L-asparaginase, liposome, chitosan, stability

L-天门冬酰胺酶(L-asparaginase, L-ASP)是一种大分子蛋白质类生化药物, 能将肿瘤细胞生长所需要的 L-天冬酰胺水解为氨和 L-天冬氨酸, 从而有效地抑制肿瘤细胞的生长<sup>[1]</sup>。L-ASP 对急性淋巴细胞白血病及非何杰淋巴瘤有较好的疗效, 是一种重要的治疗白血病的药物。但 L-ASP 稳定性差, 易被蛋白

酶分解等缺点限制了 L-ASP 的应用<sup>[2]</sup>。脂质体是一种新型的药物载体, 具有类生物膜的双分子层结构, 可提高被包封药物的稳定性, 现已广泛应用到抗癌药物、蛋白多肽类中<sup>[3]</sup>。壳聚糖是一种高分子天然多糖, 具有易化学修饰性和独特分子结构, 对脂质体表面进行修饰的同时, 能提高其稳定性<sup>[4]</sup>。

收稿日期: 2015-03-07

基金项目: 国家自然科学基金项目(30973645)。

\* 通信作者: 张景勃(1973—), 女, 上海人, 理学博士, 教授, 博士研究生导师, 主要从事新药研究与开发。E-mail: zjqrae01@163.com

本研究首次将 L-ASP 制备成壳聚糖修饰的 L-ASP 脂质体 (Chitosan modified liposomes containing L-asparaginase, LACL), 以期提供增强酶类稳定性的方法, 对 L-ASP 有重要意义, 同时也为其他酶类稳定性的研究奠定了科学理论基础。

## 1 材料与方法

### 1.1 材料和仪器

**1.1.1 主要材料、试剂** L-ASP, 以色列 Prospec 公司产品; 壳聚糖, 浙江金壳生物化学有限公司产品; 卵磷脂, 德国 Lipoid 公司产品; 胆固醇, 美国 Sigma 公司产品; L-天门冬酰胺, 美国 Sigma 公司产品; 奈斯勒指示剂, 作者所在实验室自制。

**1.1.2 主要仪器** KQ 2200 B 型超声波清洗器, 昆山市超声仪器有限公司制造; RE-52AA 旋转蒸发器, 上海亚荣生化仪器厂制造; pH 计, 上海精密科学仪器有限公司制造; 85-2 型恒温磁力搅拌器, 上海司乐仪器有限公司制造; UV-7504 PC 紫外分光光度计, 上海欣茂仪器有限公司制造。

### 1.2 试验方法

**1.2.1 LACL 的制备** 采用逆向蒸发法制备 L-ASP 脂质体, 取处方量的卵磷脂、胆固醇溶于二氯甲烷中, 旋转蒸发至形成均匀透明薄膜, 加入乙醚和 10 mL 含 L-ASP 的缓冲液, 超声处理后继续分散得 L-ASP 脂质体; 将 L-ASP 脂质体滴加到一定浓度的壳聚糖溶液中, 搅拌 3 h 后 4 °C 静置 12 h 即得 LACL<sup>[5-6]</sup>。

**1.2.2 L-ASP 活性的测定** 在 50 mmol/L Tris-HCL 的缓冲液中 (pH7.3), 以 L-天门冬酰胺为底物, 加入 0.1 mL L-ASP, 于 37 °C 水浴中保温 10 min, 加 0.1 mL 三氯醋酸溶液, 终止反应。离心后, 取 0.5 mL 上清液滴入 7.0 mL 蒸馏水中, 再加 1.0 mL 奈斯勒指示剂, 放置 10 min 后, 在 480 nm 处比色测定生成的氨。酶的活性单位定义: 每分钟催化 L-天门冬酰胺水解释放 1 μmol 氨所需的酶量<sup>[7-8]</sup>。

**1.2.3 L-ASP 和 LACL 最适 pH 的选择** 在 pH 为 6.0、6.5、7.0、7.5、8.0、8.5 及 9.0 的条件下, 分别测定 L-ASP 及 LACL 的活性。以 L-ASP 在最适 pH 下的活性为 100%, 计算其余各点的相对活性。

**1.2.4 L-ASP 和 LACL 最适温度的选择** 在温度为 20、30、40、50、60、70 °C 的环境下, 分别测定 L-ASP 及 LACL 的活性。以 L-ASP 在最适温度下的活性为 100%, 计算其余各点样品的相对活性。

**1.2.5 L-ASP 和 LACL 储存稳定性的考察** L-ASP 和 LACL 在 4 °C 下避光密封贮存, 分别于 0、1、2、5、10、15、20、28 d 测定其活性, 结果以活性保留百分率进行计算。

**1.2.6 L-ASP 和 LACL 酸碱稳定性的考察** 取适量 L-ASP 和 LACL, 分别在 pH 为 6.0、6.5、7.0、7.5、8.0、8.5 及 9.0 的一系列缓冲液中孵育 40 min, 测定其活性。以 LACL 在 pH 7.5 时的酸碱稳定性结果为 100%, 计算其余各点样品的相对活性。

**1.2.7 L-ASP 和 LACL 热稳定性的考察** 将 L-ASP 和 LACL 置于 55 °C 的水浴中, 分别于 0、1、2、3、4 h 测定其活性, 结果以活性保留百分率进行计算。

**1.2.8 L-ASP 和 LACL 抗胰蛋白酶水解能力** 取适量 L-ASP 和 LACL, 分别加入适量质量浓度为 0.1 mg/mL 的胰蛋白酶液, 混合均匀后, 放置于 37 °C 的水浴中, 在 60 min 内测定其活性, 结果以活性保留百分率进行计算。

## 2 结果与讨论

### 2.1 L-ASP 和 LACL 的最适 pH

测定结果见图 1, L-ASP 和 LACL 的最适 pH 分别为 7.5 和 7.0。pH 6~8 时, LACL 的活性都高于 L-ASP, 当 L-ASP 和 LACL 都在最适 pH 时, LACL 的活性约为 L-ASP 的 1.4 倍, 在 pH7.5 (约等于血浆的生理 pH 7.4) 时, LACL 的活性也明显高于 L-ASP。

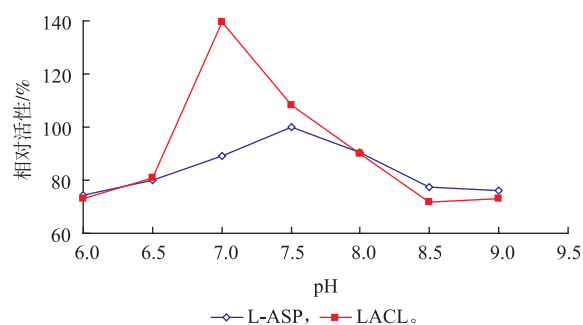


图 1 L-ASP 和 LACL 最适 pH (n=3)

Fig. 1 Optimum pH of L-ASP and LACL (n=3)

### 2.2 L-ASP 和 LACL 的最适温度

测定结果见图 2, L-ASP 的最适温度为 60 °C, LACL 的最适温度为 50 °C, 更接近人体体温, 在 30~60 °C 时, LACL 的活性明显高于 L-ASP。

### 2.3 L-ASP 和 LACL 的储存稳定性

测定结果见图 3, 大约在 18 d 时, L-ASP 的活性降至 50%, 而此时, LACL 仍存约有 80% 的活性; 在

28 d时,L-ASP仅保留有33.10%的活性,LACL仍保留有61.18%的活性。结果显示,LACL的储存稳定性明显优于L-ASP。

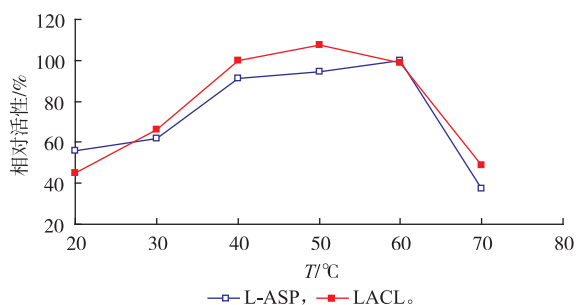


图2 L-ASP和LACL最适温度(n=3)

Fig. 2 Optimum temperature of L-ASP and LACL (n=3)

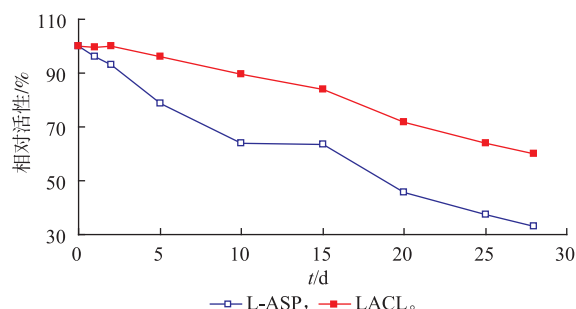


图3 L-ASP和LACL的储存稳定性(n=3)

Fig. 3 Storage stabilities of L-ASP and LACL (n=3)

### 2.4 L-ASP和LACL的酸碱稳定性

在pH 6.0~9.0时,LACL的活性保留值均高于L-ASP,见图4,LACL的酸碱稳定性优于L-ASP。在pH 6.5~8.5时,LACL保留有90%以上的活性;在pH 7.5时,LACL和L-ASP都保留有最大活性,但此时LACL的活性保留值明显比L-ASP高。结果表明,LACL有更好的抗外界环境酸碱变化的能力。

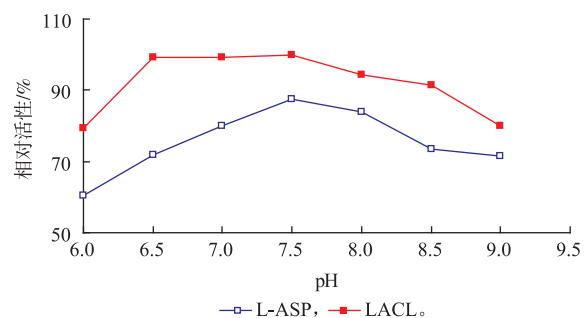


图4 L-ASP和LACL的酸碱稳定性(n=3)

Fig. 4 pH stabilities of L-ASP and LACL (n=3)

### 2.5 L-ASP和LACL的热稳定性

L-ASP在3 h时,活性消失,而此时LACL仍保

留有约60%的活性,见图5,结果表明LACL的热稳定性比L-ASP好。

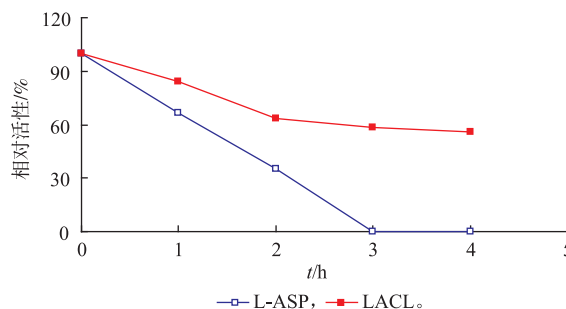


图5 55 °C条件下L-ASP和LACL的稳定性(n=3)

Fig. 5 Stability of L-ASP and LACL incubated at 55 °C (n=3)

### 2.6 L-ASP和LACL抗胰蛋白酶水解的能力

L-ASP在有胰蛋白酶的环境中,活性快速下降,30 min时活性降至约50%,此时LACL仍保留有约70%的活性;50 min时,L-ASP的活性消失,此时LACL仍保留有约53%的活性。见图6,结果显示,LACL比L-ASP有更好的抗胰蛋白酶水解的能力。

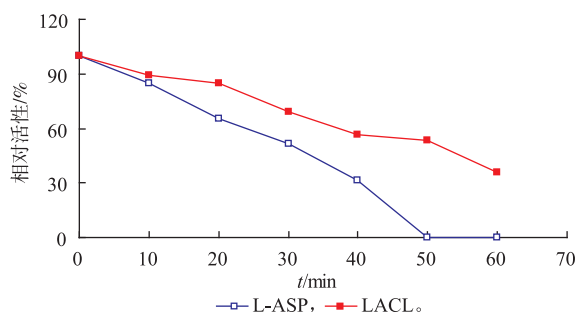


图6 L-ASP和LACL抗胰蛋白酶水解的能力(n=3)

Fig. 6 Proteolytic stabilities of L-ASP and LACL (n=3)

## 3 结语

L-ASP作为一种酶蛋白质药物,其不稳定性和易被蛋白酶降解等缺点,在一定程度上限制了其被广泛应用<sup>[2,9]</sup>。壳聚糖是自然界中一种带正电的阳离子多糖,具有无毒性和良好的生物相容性,对生物分子、有机物及许多离子有很好的螯合、吸附和离子交换能力<sup>[4,6]</sup>。本研究中首次将L-ASP制备成LACL,LACL的稳定性较游离的L-ASP有明显提高。无论是4 °C的储存条件下,还是55 °C的加热环境下,LACL都能保持较好的活性。结果表明,LACL与L-ASP比较,LACL有更好的抗外界温度变化的

能力。在 pH 6.0~9.0 时, LACL 的活性保留值均高于 L-ASP, LCAL 较 L-ASP 有更好的抗外界酸碱变化的能力。游离的 L-ASP 易被胰蛋白酶水解, 半衰期短, 而 LCAL 则表现出良好的抗胰蛋白酶水解的能力。LACL 优越的稳定性可能是壳聚糖脂质体对酶起保护作用的结果<sup>[10-11]</sup>。L-ASP 的最适温度为 60 °C, 而 LACL 的最适温度为 50 °C, 更接近人体体温; 在 40 °C (接近人体体温) 时 LACL 的活性约为 L-ASP

的 1.1 倍。pH6.0~8.0 时, LACL 的活性高于 L-ASP; 当 L-ASP 和 LACL 都在最适 pH 下时, LACL 的活性约为 L-ASP 的 1.4 倍。结果表明, 将 L-ASP 制备成 LACL 可在一定程度上提高 L-ASP 的活性, 这可能是酶和脂质体膜及壳聚糖相互作用的结果<sup>[5,10-11]</sup>。

本研究结果显示, LACL 有提高游离酶活性, 增强其稳定性的优点, 为蛋白酶类药物的深入研究提供了理论依据。

## 参考文献:

- [ 1 ] Kim M, Kim T M, Kim K H, et al. Ifosfamide, methotrexate, etoposide, and prednisolone (IMEP) plus L-asparaginase as a first-line therapy improves outcomes in stage III/IV NK/T cell-lymphoma, nasal type (NTCL)[J]. **Ann Hematol**, 2015, 94(3): 437-444.
- [ 2 ] Anqioliillo A L, Schore R J, Devidas M, et al. Pharmacokinetic and pharmacodynamic properties of calaspargase pegol Escherichia coli L-asparaginase in the treatment of patients with acute lymphoblastic leukemia; results from Children's Oncology Group Study AALL07P4[J]. **J Clin Oncol**, 2014, 32(34): 3874-3882.
- [ 3 ] Miao Z L, Deng Y J, Du H Y, et al. Preparation of a liposomal delivery system and its in vitro release of rapamycin [J]. **Exp Ther Med**, 2015, 9(3): 941-946.
- [ 4 ] 贾海红, 周洪英, 王雪松. 生物吸附剂壳聚糖对刚果红的吸附[J]. 食品与生物技术学报, 2013, 32(6): 651-655.  
JIA Honghai, ZHOU Hongying, WANG Xuesong. Study on the biosorption of congo red by chitosan [J]. **Journal of Food Science and Biotechnology**, 2013, 32(6): 651-655. (in Chinese)
- [ 5 ] 王娜, 赵春景, 黄开顺, 等. 产脲假丝酵母尿酸酶脂质纳米粒的制备及其药效学特性分析[J]. 中国生物制品学杂志, 2013, 26(8): 1147-1150.  
WANG Na, ZHAO Chunjing, HUANG Kaishun, et al. Preparation and pharmacodynamics of lipid nanoparticles containing uricase from candida utilis[J]. **Chinese Journal of Biologicals**, 2013, 26(8): 1147-1150. (in Chinese)
- [ 6 ] Chen H, Wu J, Sun M, et al. N-trimethyl chitosan chloride-coated liposomes for the oral delivery of curcumin [J]. **J Liposome Res**, 2012, 22(2): 100-109.
- [ 7 ] Ha W, Meng X W, Li Q, et al. Self-assembly hollow nanosphere for enzyme encapsulation[J]. **Soft Matter**, 2010(6): 1405-1408.
- [ 8 ] 施特马赫(德). 酶的测定方法[M]. 钱嘉渊译. 北京: 中国轻工业出版社, 1992: 85-88.
- [ 9 ] Borqhorst S, Hempel G, Poppenborq S, et al. Comparative pharmacokinetic/pharmacodynamic characterisation of a new pegylated recombinant *E. coli* L-asparaginase preparation (MC0609) in Beagle dog[J]. **Cancer Chemoth Pharm**, 2014, 74(2): 367-378.
- [ 10 ] 郭健新, 平其能, 董隽, 等. 壳聚糖包衣脂质体对  $\alpha$ -糜蛋白酶降解醋酸亮丙瑞林的保护作用[J]. 中国药学杂志, 2005, 40(1): 47-50.  
GUO Jianxin, PING Qineng, DONG Jun, et al. Protection effect of chitosan-coated liposome on the degradation of leuprolide by  $\alpha$ -chymotrypsin[J]. **Chinese Pharmaceutical Journal**, 2005, 40(1): 47-50. (in Chinese)
- [ 11 ] Rescia V C, Ramos H R, Takata C S, et al. Diphtheria toxoid conformation in the context of its nanoencapsulation within liposomal particles sandwiched by chitosan[J]. **J Liposome Res**, 2011, 21(1): 116-123.